



Université

de Strasbourg

Appariement de surfaces par contrôle optimal en chirurgie augmentée

Guillaume Mestdagh, Yannick Privat et Stéphane Cotin



Institut de recherche mathématique avancée
UMR 7501 Université de Strasbourg et CNRS
7 rue René Descartes
67000 Strasbourg, France

Tel: 03 68 85 02 78 - **Courriel:** guillaume.mestdagh@unistra.fr

Plan de l'exposé

1. Chirurgie augmentée : le cas du foie
2. Problème de contrôle optimal
3. Exemples numériques

1 Chirurgie augmentée : le cas du foie

Introduction

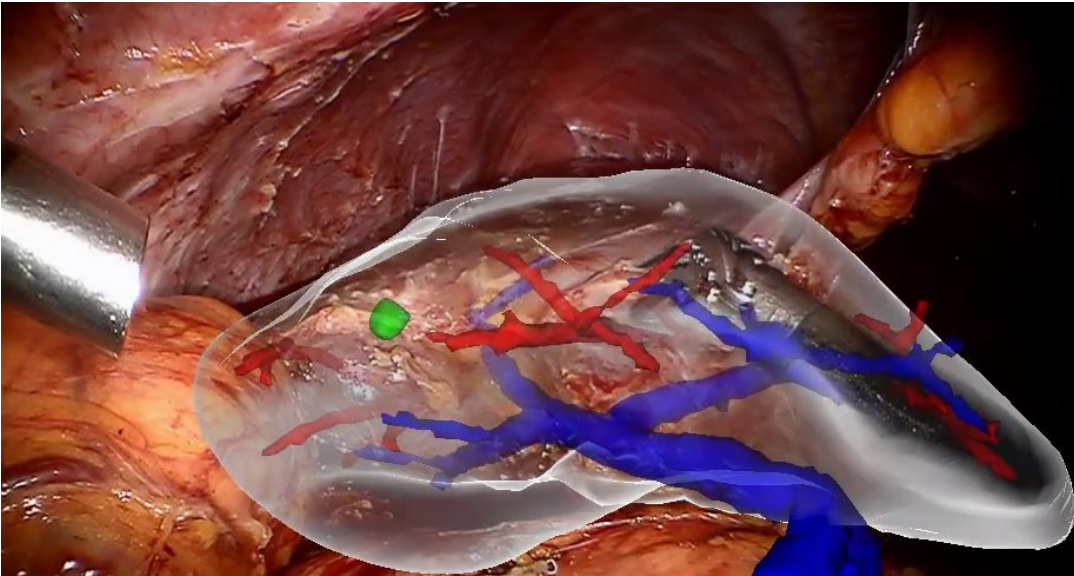


Image augmentée en
chirurgie du foie

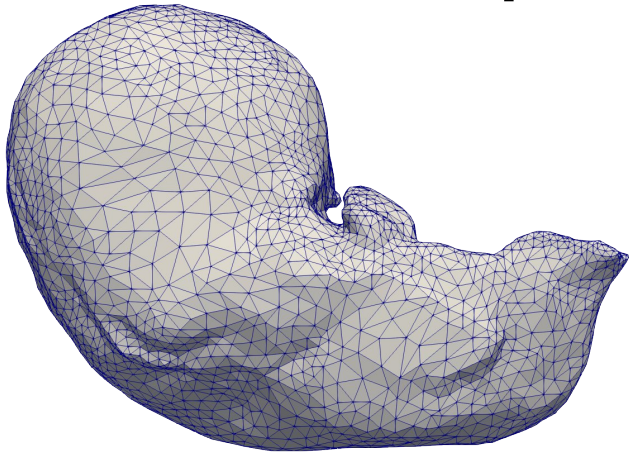
Inria, 2018

- Reconstruction du champ de déplacement à partir de données intra-opératoires
- Ajout d'une vue 3D de l'organe sur les images filmées
- Localisation en temps réel d'une tumeur

1 Chirurgie augmentée : le cas du foie

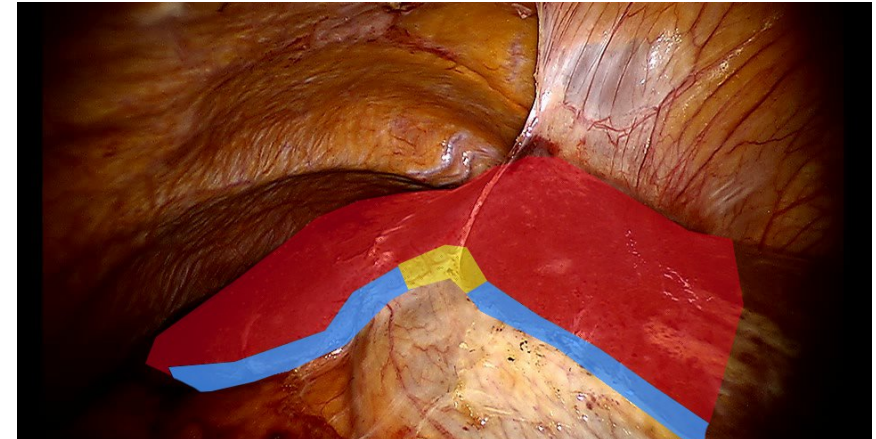
Appariement de surfaces

Données pré-opératoires



Modèle 3D du foie dans sa configuration de référence

Données intra-opératoires

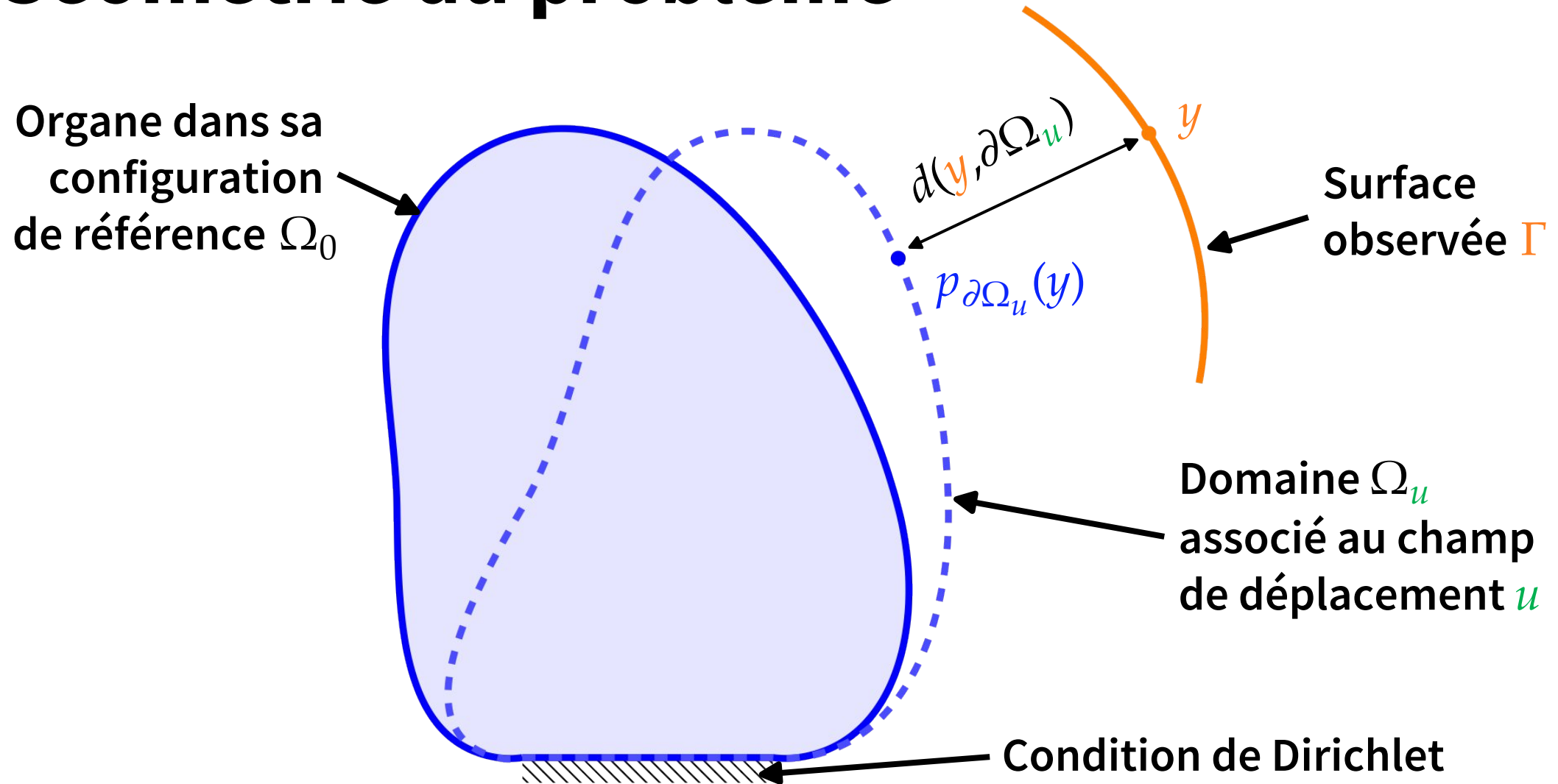


Position d'une partie de la surface de l'organe (R. Plantefève, 2016)

But : Déformer le maillage pour correspondre à la surface observée

1 Chirurgie augmentée : le cas du foie

Géométrie du problème

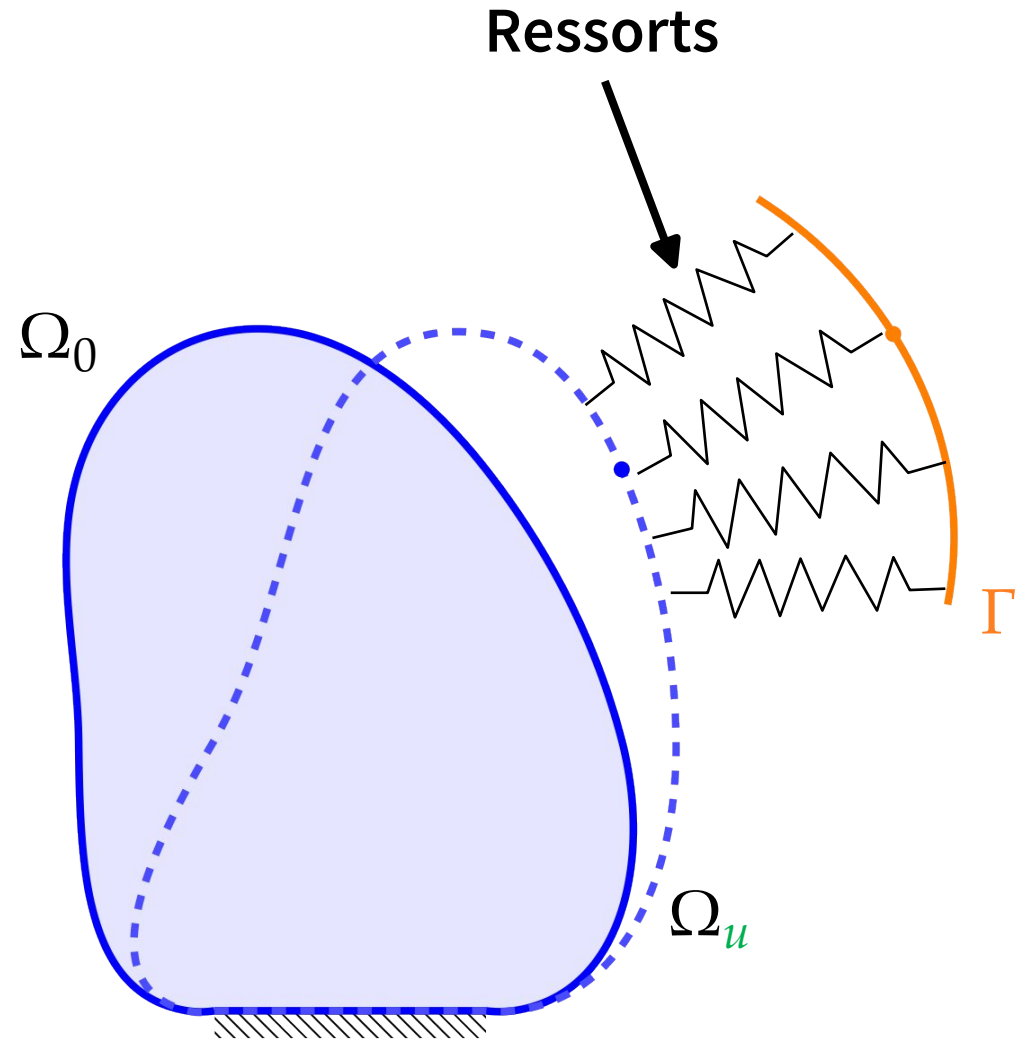


1 Chirurgie augmentée : le cas du foie

État de l'art

Simulation mécanique

- Ressorts placés entre Γ et la frontière de l'organe
- Résolutions successives d'un problème d'élasticité
- Augmentation progressive de la raideur des ressorts



2 Problème de contrôle optimal

Reconstruction d'un effort de surface

Modèle élastique

État : champ de déplacement

$$\begin{cases} \operatorname{div}(\sigma(u_g)) = 0 & \text{dans } \Omega_0 \\ u_g = 0 & \text{sur } \partial\Omega_D \\ \sigma(u_g) \cdot n = g & \text{sur } \partial\Omega_N \end{cases}$$

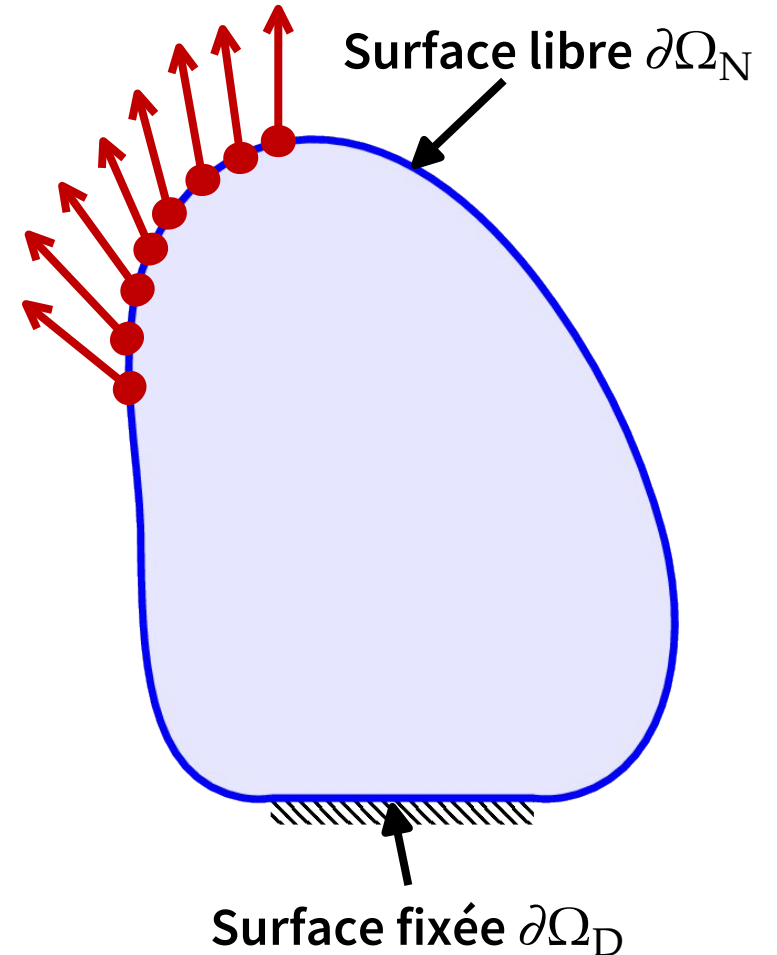
Contrôle : efforts de surface

Problème d'optimisation

Fonctionnelle mesurant
la qualité du recalage

$$\min J(u_g) + R(g) \quad \text{s.c.} \quad \|g\|_{L^\infty(\partial\Omega_N)} \leq M$$

Régularisation



2 Problème de contrôle optimal

Mesure de la qualité du recalage

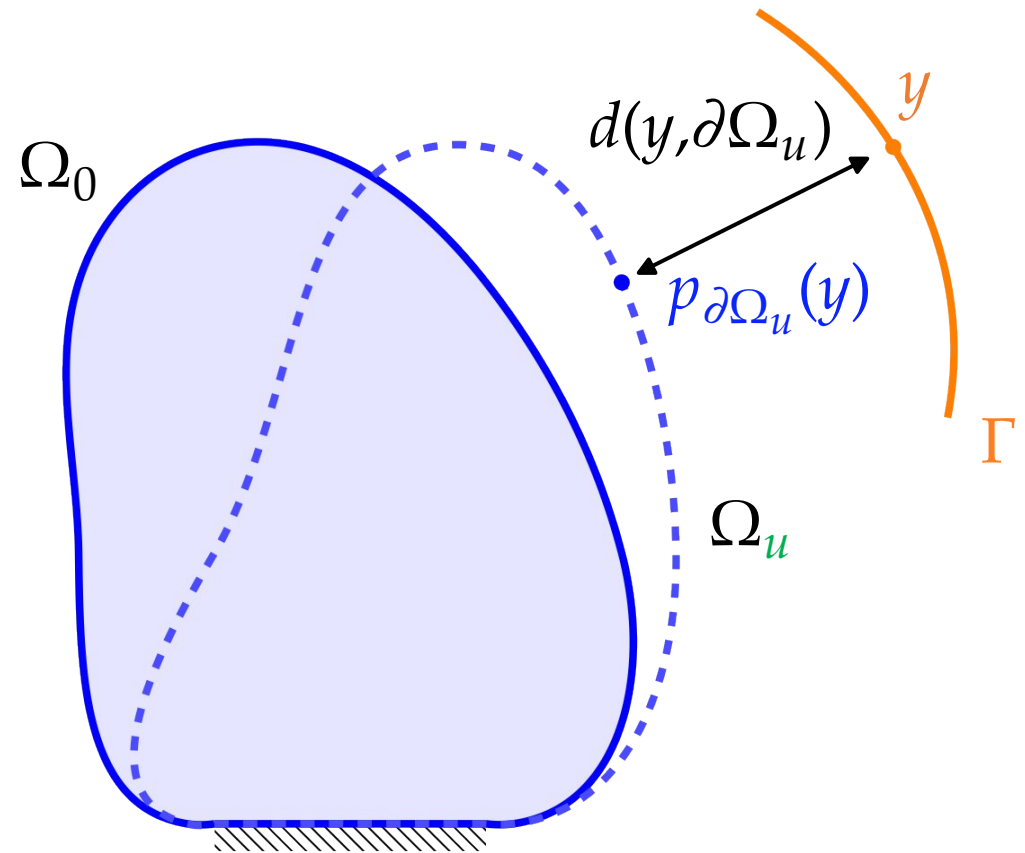
Difficulté

Γ : une surface ouverte

Fonctionnelle

$$J(u) = \frac{1}{2} \int_{\Gamma} d^2(y, \partial\Omega_u) dy$$

- $J(u) = 0$ ssi le recalage est terminé (soit $\Gamma \subset \partial\Omega_u$)
- Pondération possible en fonction de l'incertitude sur les points de Γ



2 Problème de contrôle optimal

Fonctionnelle : dérivabilité

Propriété

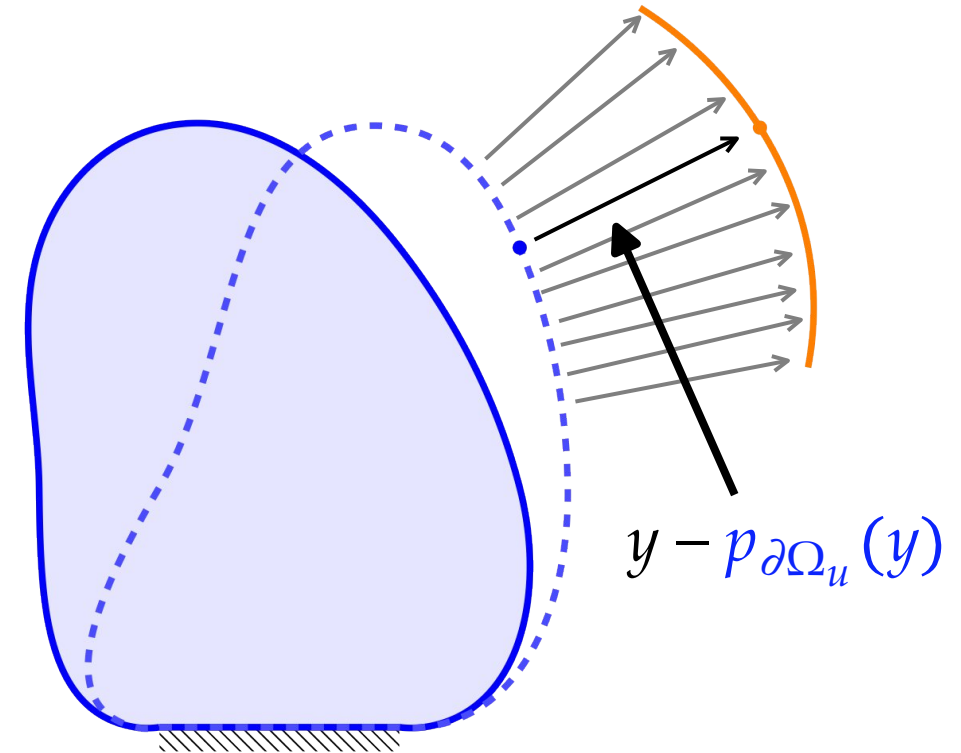
J admet des dérivées

- Directionnelles : tout le temps
- Au sens de Fréchet : en général

Expression de la différentielle (cas Fréchet)

$$\langle dJ(\mathbf{u}), v \rangle = \int_{\Gamma} \hat{v}(p_{\partial\Omega_u}(y)) \cdot (p_{\partial\Omega_u}(y) - y) dy$$

$$\text{où } \hat{v}(p_{\partial\Omega_u}(y)) = v [(I + \mathbf{u})^{-1}(p_{\partial\Omega_u}(y))]$$



Gradient L^2 de la fonctionnelle J

2 Problème de contrôle optimal

Conditions d'optimalité

Problème direct (cas linéaire)

$$\forall v \in H_D^1(\Omega_0) \quad \langle u, v \rangle_{\text{élastique}} = \int_{\partial\Omega_N} g \cdot v \, ds$$

Problème adjoint

$$\forall q \in H_D^1(\Omega_0) \quad \langle p, q \rangle_{\text{élastique}} = \langle dJ(u), q \rangle$$

État adjoint

Conditions d'optimalité sur le contrôle

$$\nabla R(g) + p + \lambda g = 0 \quad \text{avec} \quad \begin{cases} \lambda \geq 0 \\ \|g\| \leq M \\ \lambda (\|g\| - M) = 0 \end{cases}$$

Fonction scalaire

Gestion de la
contrainte
ponctuelle

2 Problème de contrôle optimal

Existence d'une solution

Problème simplifié

$$\min J(u_g) \quad \text{s.c} \quad \begin{cases} \Delta u_g + u_g = 0 & \text{dans } \Omega_0 \\ \partial_n u_g = g & \text{sur } \partial\Omega \end{cases}$$

Contrainte ponctuelle : $\|g\|_{L^\infty(\partial\Omega)} \leq M$

Résultat utile

Approximation $W^{1,\infty}$: $\|u_g\|_{W^{1,\infty}(\Omega)} \leq C \|g\|_{L^\infty(\partial\Omega)}$

Propriété

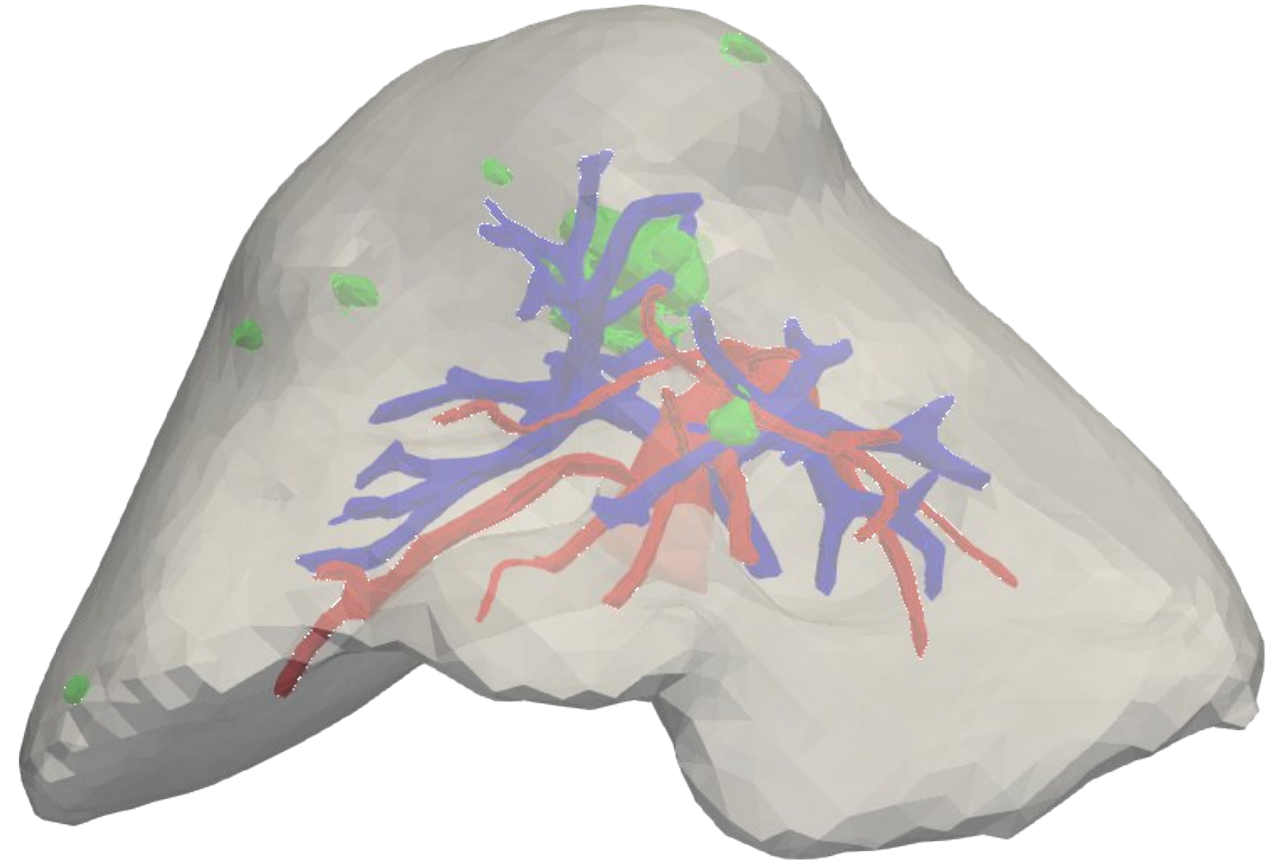
Le problème possède au moins une solution

3 Exemples numériques

Problème test

Simulation par éléments finis

- L'organe : un maillage
- Les champs de vecteurs : des fonctions d'éléments finis P1



Maillage de foie dans sa configuration de référence

3 Exemples numériques

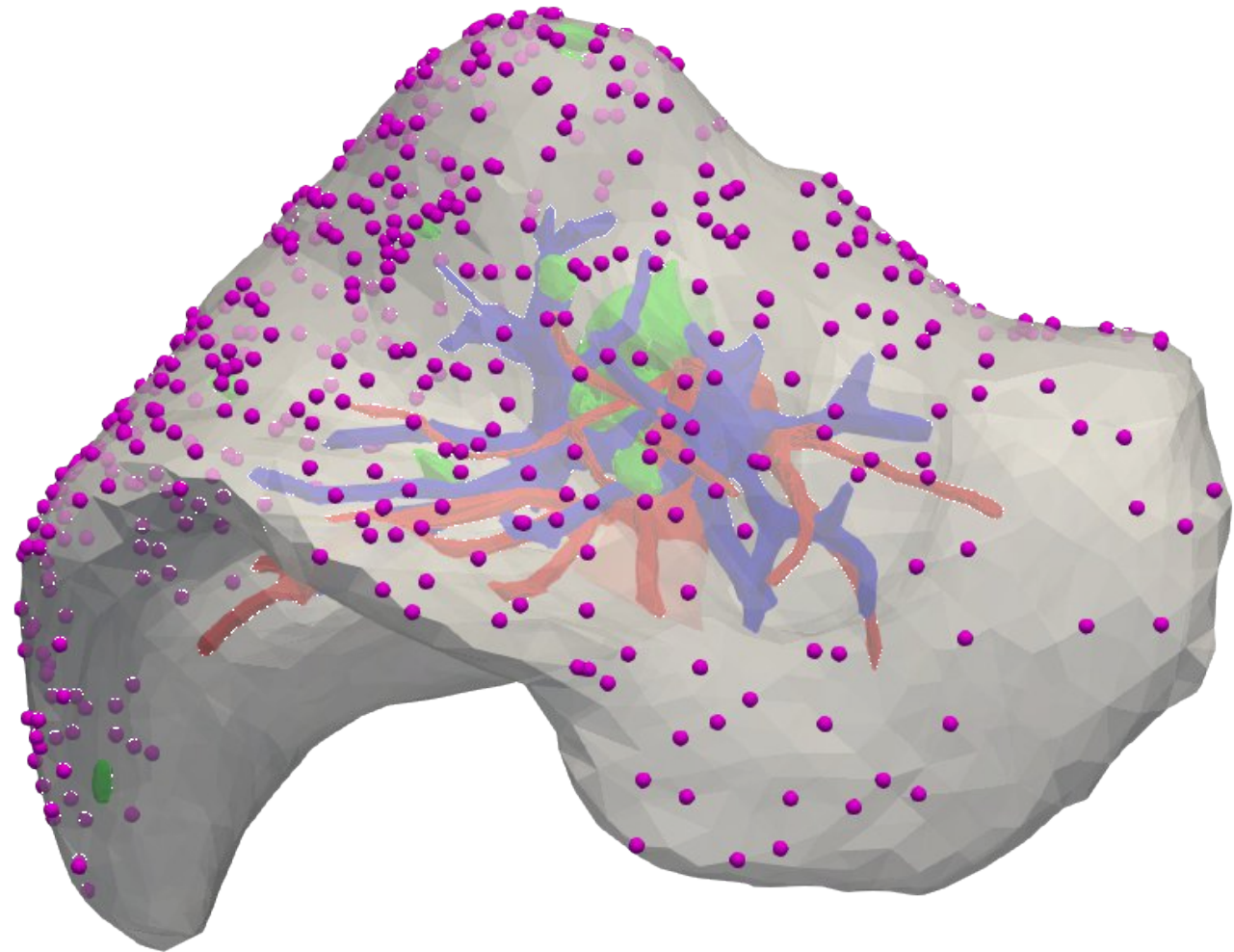
Problème test

Simulation par éléments finis

- L'organe : un maillage
- Les champs de vecteurs : des fonctions d'éléments finis P1

Création de données artificielles

- Déformation du maillage
- Projection de 500 points sur la surface déformée



Maillage déformé et nuage de points

3 Exemples numériques

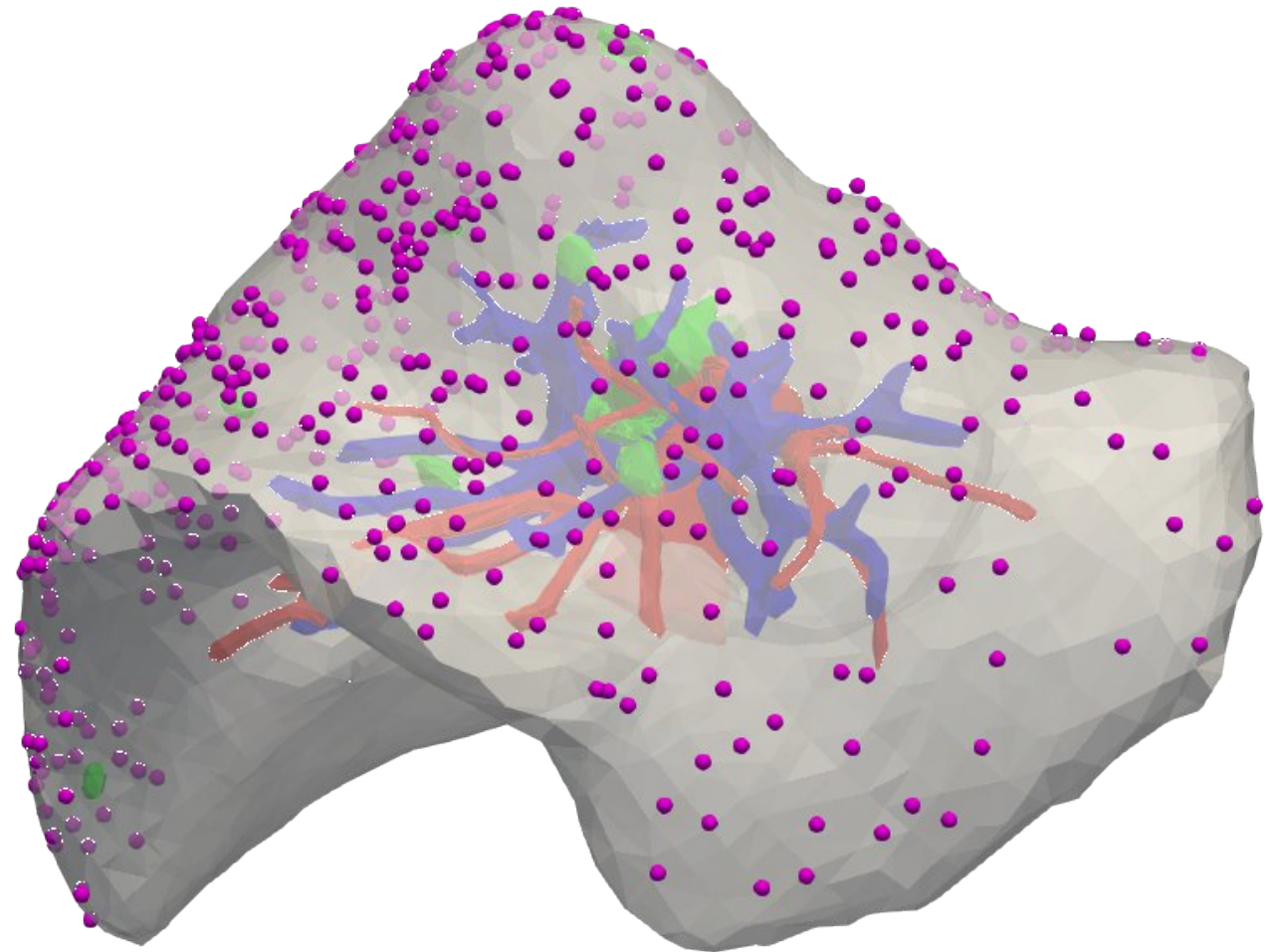
Problème test

Résolution du problème d'optimisation

- Pas de régularisation ni de contrainte : $\min J(\mathbf{u}_g)$
- Méthode d'adjoint + quasi-Newton

Résultat

- Tous les points du nuage sont atteints
- Reconstruction inexacte là où il n'y a pas de point



Déformation reconstruite

3 Exemples numériques

Filtrage du bruit dans le nuage de points

Difficulté

Erreur sur les mesures intra-opératoires

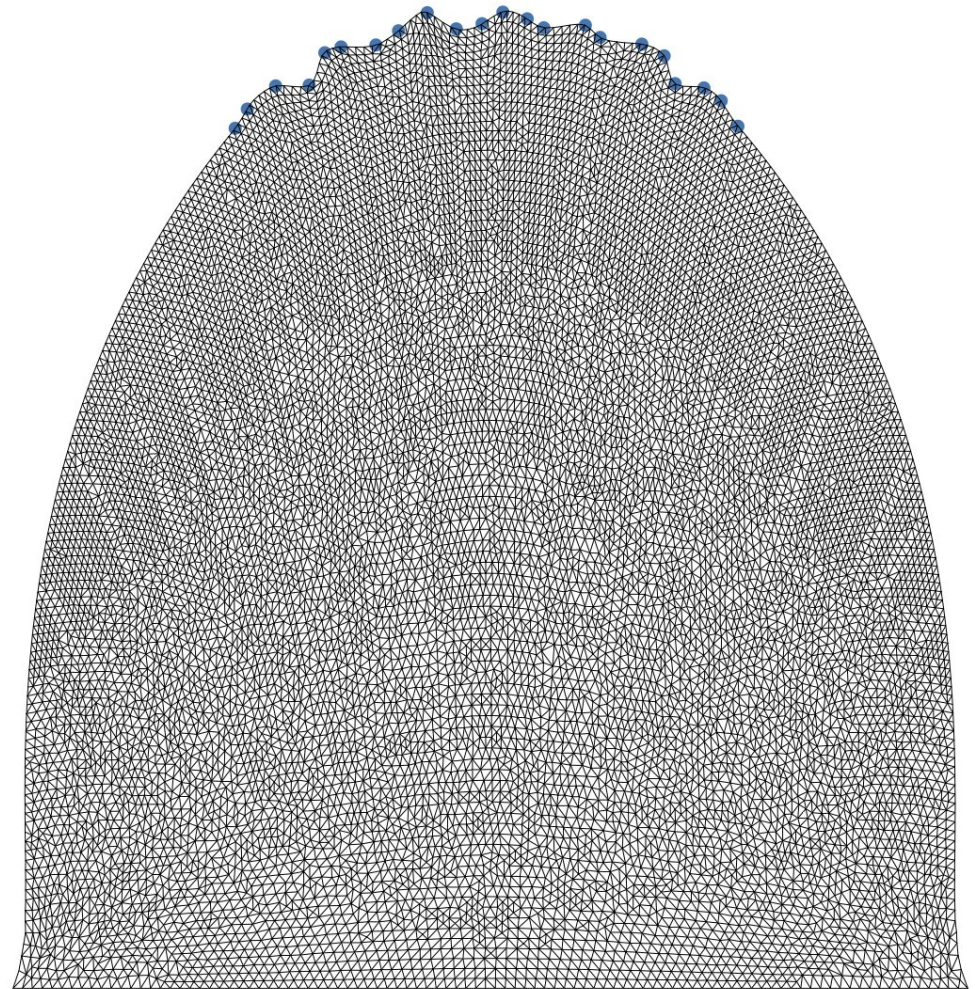
Solutions envisagées

- Problème régularisé

$$\min J(\mathbf{u}_{\mathbf{g}}) + \frac{1}{2} \|\mathbf{g}\|_{L^2}^2$$

- Problème avec contrainte

$$\min J(\mathbf{u}_{\mathbf{g}}) \text{ s.c. } \|\mathbf{g}\|_{L^\infty} \leq M$$



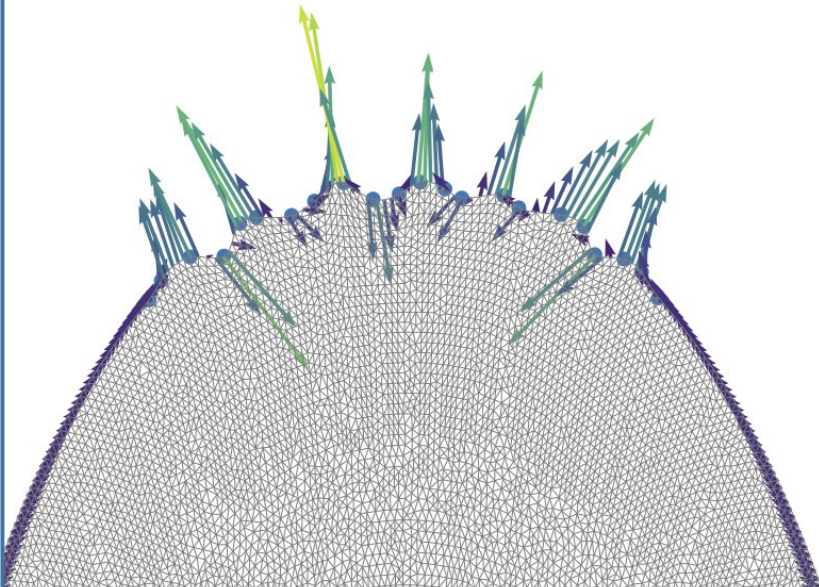
3 Exemples numériques

Régularité du contrôle

Correspondance exacte

$$\min J(\mathbf{u}_g)$$

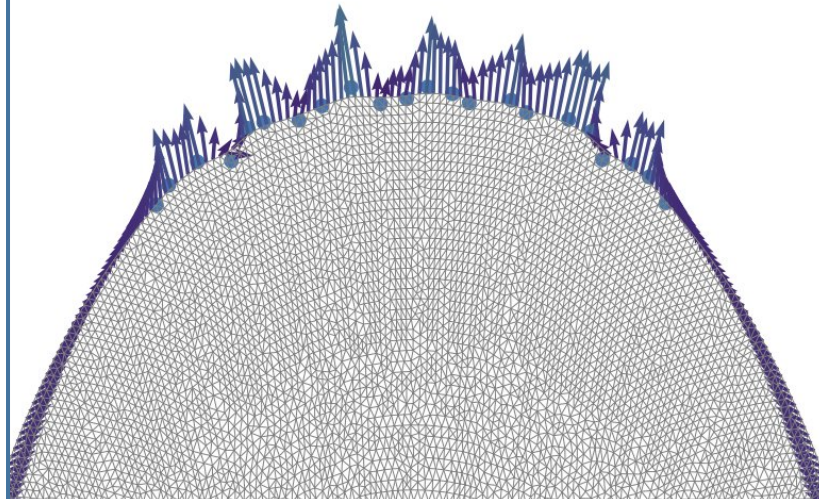
- Surface irrégulière
- Forces de grande amplitude



Régularisation

$$\min J(\mathbf{u}_g) + \frac{1}{2} \|\mathbf{g}\|_{L^2}^2$$

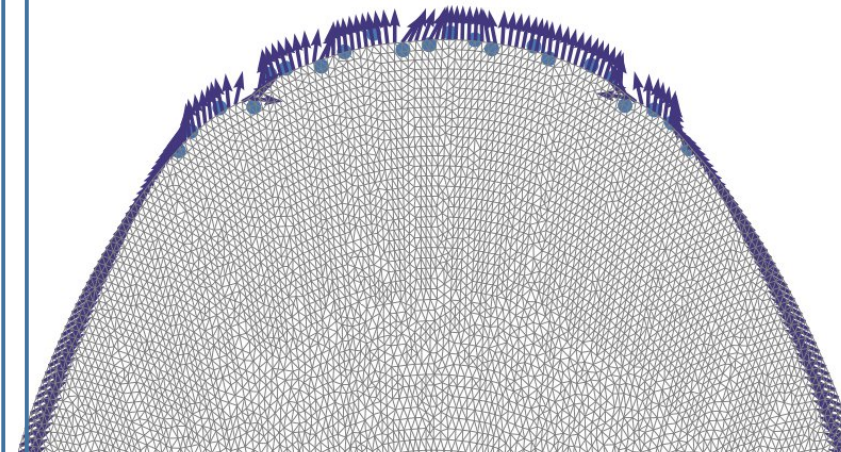
- Pas de contraintes
- Meilleures propriétés numériques



Contrainte ponctuelle

$$\min J(\mathbf{u}_g) \text{ s.c. } \|\mathbf{g}\|_{L^\infty} \leq M$$

- Sens physique
- Cohérent avec la théorie d'existence



Conclusion et travail en cours

Intérêt de la formulation de contrôle optimal

- Outils génériques disponibles pour étudier et résoudre le problème
- Pratique pour ajouter de l'information dans le modèle

Travail en cours

- Travail sur l'efficacité des algorithmes
- Intégration dans le logiciel SOFA de l'équipe Inria Mimesis

